

Aplicando modelos de granos de polvo con propiedades meteoríticas al continuo ionizante de algunos Núcleos Activos de Galaxias.

“Coloquio: Origen y estructura del Sistema Solar”, *Revista de Ciencias Geológicas del Instituto de Geología*, 2007

Sinhué Amos Refugio Haro-Corzo¹ & Luc Binette² ² Instituto de Astronomía, Universidad Nacional Autónoma de México, Apartado Postal 70-264, C.P. 04510, Ciudad de México.

1. Introducción

Observaciones espectroscópicas realizadas con diversos telescopios han encontrado que la Distribución Espectral de Energía Ionizante (SED) de los cuasares (subgrupo de los Núcleos Activos de Galaxias) presentan los siguientes rasgos en el dominio ultravioleta (UV): Emisión de radiación (continuo ionizante) proveniente de la región central y con superposición de líneas de emisión y absorción. A su vez, el continuo ionizante presenta un *quiebre UV*, es decir, un cambio abrupto de pendiente alrededor 1100 Å (Haro-Corzo et al. 2007, de aquí en adelante H07) y un *problema de suavidad*, es decir, dispersión entre los índices espectrales observados en el UV lejano (Binette et al. 2007). A la fecha es un tema abierto que exige solución para entender la naturaleza de los hoyos negros supermasivos que viven en los cuasares.

A lo largo de nuestra investigación, hemos desarrollado el siguiente paradigma que resuelve exitosamente el *quiebre UV* así como el *problema de suavidad*: existe una SED teórica universal que emerge del quasar, la cual es absorbida por cantidades apropiadas de (1) gas/polvo intrínseco y (2) el medio intergaláctico y Galáctico. Binette et al. (2007) propusieron diversos escenarios para explicar el punto (1), por lo que en este trabajo sólo profundizaremos en este mismo punto, es decir, exploraremos la absorción debida a dos pantallas de polvo que están cerca y alrededor al quasar, donde cada pantalla de polvo está formada por un sólo compuesto químico (silicatos o carbón amorfo o nanodiamantes). Así, cada pantalla tiene una curva de extinción peculiar que relaciona la sección eficaz del material absorbente a cada longitud de onda.

2. Curvas de Extinción del Polvo

En esta sección explicamos los cálculos realizados para construir los factores de eficiencia de la extinción (Q_{ext}), los cuales son necesarios para formar la sección eficaz. Estos cálculos de Q_{ext} están basados en la teoría Mie (Bohren & Huffman 1983) para una distribución ($n(a) \propto a^{+\beta}$) de granos esféricos de radio “a” entre $a_{min}=50$ y $a_{max}=2500$ Å, índice $\beta = -3.5$ (Whittet 2003), isotrópicos, homogéneos y con varias composiciones químicas, i.e. con varios índices complejos de refracción ($m=n-ik$) acorde al material (más detalles en Haro Corzo 2006).

Para construir la sección eficaz a partir de Q_{ext} se resuelve la siguiente ecuación para la distribución de granos: $\sigma_{dust} = C_{gr} \int_{a_{min}}^{a_{max}} d \ln a \pi a^{3+\beta} Q_{ext}(a, \lambda, n, k)$, donde la constante de normalización C_{gr} y el volumen del grano esférico V_{gr} son calculados con: $C_{gr} = \frac{Z_{el} \mu_{gr} m_H}{\rho_{gr} V_{gr}}$; $V_{gr} = \int_{a_{min}}^{a_{max}} d \ln a \frac{4}{3} \pi a^{4+\beta}$, donde Z_{el} es la abundancia numérica del elemento a considerar con respecto al hidrógeno (H), m_H es la masa del átomo del H, ρ_{gr} es la densidad de masa del grano (g cm^{-3}), μ_{gr} el peso molecular promedio del grano. Además, debido a que pocos cuasares se les ha determinado su abundancia química, hemos asumido como primera aproximación abundancias solares.

Una vez esto, la técnica usada para reproducir el continuo ionizante observado (F_{obs}) y explorar los efectos de las diversas pantallas de polvo es: partir de una SED teórica universal (F_{int}) en forma de joroba y la cual es multiplicada por la transmisión debida al polvo (absorción del polvo en función de su sección eficaz σ_{dust} [cm^2] y de la densidad columnar equivalente N_H [cm^{-2}], como un parámetro libre), i.e. $F_{obs} = F_{int} \times \exp(-N_H \sigma_{dust})$. Con este planteamiento buscamos mejorar el ajuste al continuo en el dominio del UV y además buscar la relación con el espectro en los rayos X para cada quasar. Con base en esto, ahora sólo falta definir la composición química del polvo.

2.1. Pantalla de polvo compuesta por Nanodiamantes

Con el objetivo de corregir el *quiebre UV* hemos seguido el trabajo de Binette et al. (2005, de aquí en adelante B05), quienes exploraron diversas pantallas de polvo compuestos por diamantes de tamaños nanométricos (10^{-9} m). Los nanodiamantes están compuestos por átomos de carbón colocados en una red cristalina y en algunas ocasiones presentan impurezas en la superficie. La abundancia solar del carbón es de 3.6310^{-4} con respecto al hidrógeno y entonces el peso molecular es de 12 para todos los granos.

2.1.1. Nanodiamantes Meteorítico: modelos A

Uno de los ejemplos más estudiado es el meteorito de Allende, el cual aterrizó en la ciudad de Allende en el estado de Chihuahua, México, el 8 Febrero de 1969. En este meteorito fueron encontrados nanodiamantes con impurezas de hidrógeno¹ a lo largo de la superficie. Estos nanodiamantes tiene tamaños típicos entre 10 y 100 Å, densidad de 2.3 g cm^{-3} y bandas en emisión en el IR, i.e. a 3.43 y 3.53 μ , las cuales fueron identificadas en algunas estrellas (Van Kerckhoven et al. 2002).

El nanodiamante es el material granular más abundante en meteoritos primitivos (Lewis et al. 1987a,b; Zinner 1998). La sobreabundancia de los nanodiamantes con respecto a las demás componentes del meteorito, sugiere que los granos del medio interestelar fueron acretaados directamente en

¹Hacemos notar que también existen nanodiamantes con impureza de N en su superficie, los cuales serán explorados en trabajos futuros

planetisimales y los cuales permanecen relativamente inalterados en los núcleos de los asteroides. Dada la abundancia y dureza de los nanodiamantes, Mutschke et al. (2004) pudieron aislarlos del resto del meteorito con disolventes químicos para luego investigar los índices de difracción complejos, lo cual permitió a B05 construir la sección eficaz **A1** (ilustrada en la figura 2.1.1) y reproducir por primera vez el *quiebre UV*.

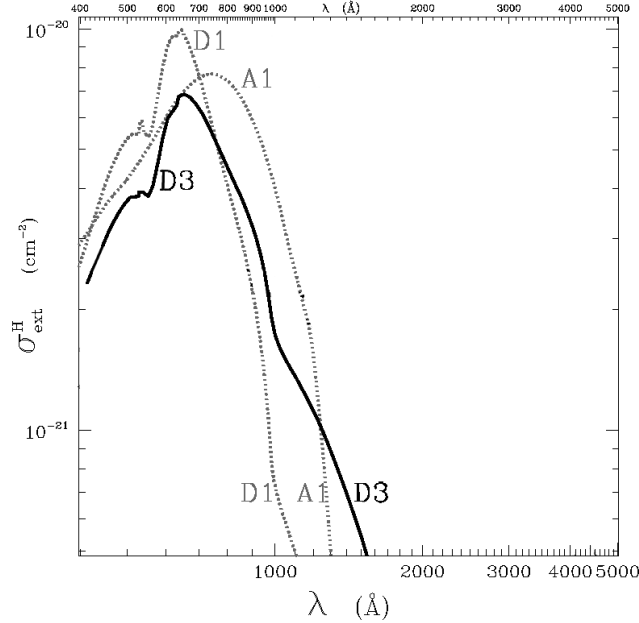


Fig. 1.— Curvas de extinción o sección eficaz de absorción como función de la longitud de onda para granos de polvo compuestos por nanodiamantes. Aquí ilustramos las tres curvas que hemos utilizado a lo largo de nuestra investigación para reproducir el *quiebre UV* a partir de la absorción por granos de polvo. Las tres curvas varían de acuerdo a su composición como sigue: nanodiamantes meteorítico (A1), nanodiamante cúbico (D1 y D3). En especial, hemos adoptado a la curva D3 (línea continua), que está en el régimen de granos pequeños entre 3 y 200 Å, como la representante más adecuada para resolver el problema del *quiebre UV*.

2.1.2. Nanodiamantes Cúbico: modelos D

Este tipo de nanodiamante no tiene impureza en la superficie. La densidad de granos es de 3.51 g cm^{-3} (Edwards & H.R. 1985). La sección eficaz de los nanodiamantes cúbicos fue extrapolada hacia el UV lejano, dado que no encontramos valores de laboratorio de los índices de refracción por debajo de 413 Å.

La curva de extinción utilizada por B05 fue etiquetada como **D1**, la cual está en el *régimen de granos pequeños*, i.e, en el intervalo de tamaños entre $a_{min} = 3$ y $a_{max} = 25$ Å, en cambio la curva

de extinción **D3** tiene un intervalo de tamaños más amplio, es decir, entre $a_{min} = 3$ y $a_{max} = 200 \text{ \AA}$.

En la figura 2.1.1 comparamos las curvas de extinción calculadas para los diferentes tipos de nanodiamantes. Hacemos notar que el pico de la sección eficaz para D1, A1 y D3 ocurre a la longitud 640, 741 y 640 \AA respectivamente. Esta particularidad de la sección recta de los nanodiamantes, junto con el abrupta caída de la sección eficaz hacia el rojo de 1000 \AA son rasgos únicos de este tipo de polvo, los cuales dejan una clara huella en el espectro UV bajo el paradigma del trabajo presente (ver H07). Así, los modelos con polvo que usan componentes altamente ordenadas (por ejemplo los modelos D) tienden a producir quiebres abruptos y bien localizados, mientras que el polvo dopado con componentes desordenadas (por ejemplo A) tienden a producir quiebres anchos.

2.2. Curva de extinción tipo SMC

Richards et al. (2003) infirieron curvas de extinción similares al tipo Nube Menor de Magallanes (SMC) a partir de los miles de espectros de cuasares provenientes del catastro con el Sloan (SDSS). A la fecha, en los congresos internacionales es tema de debate la forma, la inclinación, la metalicidad y los rasgos característicos de la curva de extinción inferida en los objetos extragalácticos con corrimiento al rojo moderado. Esto nos señala que los objetos están envueltos en medios ambientes distintos y que requieren una investigación más detallada. En el proyecto que hemos estado desarrollando, asumimos que la curva de extinción aplicable a los cuasares es tipo SMC, ya que en general las diversas curvas en el dominio UV son similares, como es mostrado en la figura 2.2 donde comparamos la curva de extinción tipo SMC (línea segmento-punto) con la Galáctica (línea continua tenue y etiquetada como ISM). Es notable en la comparación que la curva tipo SMC tiene una pendiente muy pronunciada en el cercano UV ($< 1100 \text{ \AA}$) y no tiene la joroba en absorción a 2175 \AA , que caracteriza a la curva de extinción ISM. Basados en lo anterior y con el objetivo de resolver el *problema de suavidad* en el intervalo del cercano UV, hemos tratado de reproducir la curva de extinción tipo SMC con los siguientes tres compuestos.

2.2.1. Silicatos

La primera curva que construimos (línea segmento-punto y etiquetada como PEI) se basó en la curva de Pei (1992), quien empleó granos de polvo compuestos por silicatos para reproducir la curva de extinción deducida por Prevot et al. (1984) a partir de los datos de la SMC. Sin embargo, este modelo requiere de 2 a 3 veces más cantidad de silicio disponible en el medio interestelar de la SMC. Además es necesario escalar la curva por un factor 5.5 para hacerla comparable con la curva tipo ISM. Así, debido a que las abundancias utilizadas para generar esta curva de extinción no son físicamente compatibles con las observadas, descartamos este tipo de granos de polvo.

En la segunda curva asumimos que el polvo está formado por silicato tipo olivino (MgFeSiO_4). Los átomos de Mg y el Fe son aproximadamente igualmente abundantes en el medio interestelar. Ambos

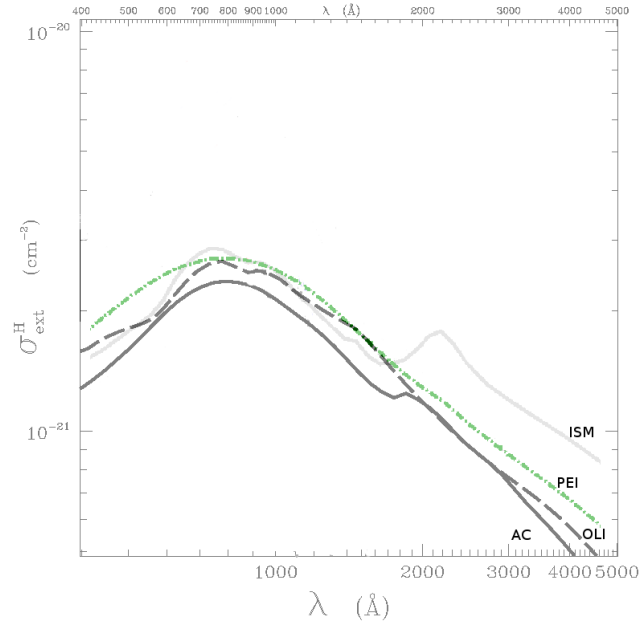


Fig. 2.— Curvas de extinción como función de la longitud de onda para diferentes compuestos de granos de polvo. Por comparación hemos superpuesto la curva de extinción tipo medio interestelar Galáctica (línea continua-tenua y etiquetada como ISM). El rasgo característico de esta curva es el máximo (joroba en absorción ancha y simétrica) que está a 2175 \AA y que es atribuida a la presencia de grafito. Las curvas de extinción tipo SMC utilizadas para resolver el problema de suavidad en los cuasares están ilustradas como sigue: La curva de extinción calculada por Pei (1992) (línea punto-segmento y etiquetada como “PEI”) está escalada por un factor 5.5 para facilitar la comparación con el resto de las curvas. La curva que representa a los granos de polvo con propiedades del olivino ($MgFeSiO_4$) está ilustrada como una línea segmentada, etiquetada como “OLI” y escalada por un factor de 2. La curva que ilustra la absorción que presentan los granos de polvo compuestos por Carbón Amorfo está ilustrada como una línea sólida y etiquetada como “AC”. Esta última curva no necesita ser escalada y además presenta un rasgo peculiar alrededor de 1700 \AA , así esta es la curva adoptada para representar la extinción tipo SMC.

residen principalmente en el polvo interestelar (Draine 2003) y en los meteoros (Delaney 2000). Es entonces razonable considerar granos de polvo compuestos por $MgFeSiO_4$, aunque es posible, que por ejemplo, el Fe puede tener otra composición química. La densidad del olivino es 500 g cm^{-3} , los índices complejos de refracción fueron extraídos de (Draine 2003) y las abundancias solares son (en escalas de 10^{-5}): 3.8 para el Mg, 4.68 para el Fe, 3.5 para el Si y 86.1 para el O. Así el peso molecular del grano es de 172.19. La curva de extinción del olivino está ilustrada en la figura 2.2 (línea segmentada-larga y etiquetada como OLI), la cual presenta un factor 2 de normalización por debajo de los datos.

2.2.2. Carbón Amorfo AC

Este es un arreglo no cristalino de los átomos de carbón, que forman anillos unidos aleatoriamente, por lo que entre estos anillos se forman huecos llamados poros. Los índices de refracción complejos así como la densidad del carbón ($\rho = 1.85 \text{ g cm}^{-3}$) fueron extraídos de la tabla 1 (columna 2 y 4) de Rouleau & Martin (1991). El peso molecular que adoptamos es $\mu_{gr} = 12$, la abundancia solar es $Z_c = 3.63 \times 10^{-4}$ con respecto al hidrógeno y asumimos que todo el carbón está oculto dentro de los granos de polvo. El intervalo óptimo del tamaño de los granos es entre $a_{min} = 50 \text{ \AA}$ y $a_{max} = 1400 \text{ \AA}$ con una resolución de 0.01 \AA . Afinamos el tamaño de los granos hasta que reprodujera la *forma* de la curva de extinción tipo SMC. La curva de extinción resultante está mostrada en la figura 2.2 en línea continua y etiquetada como AC.

Asumimos que la curva AC es la curva de extinción más atractiva para representar la extinción tipo SMC, debido al hecho que no requiere renormalización y además está presente un rasgo alrededor de 1700 \AA que es observado en algunos espectros de quasares.

3. Discusión

En los quasares, el continuo ionizante observado presenta un cambio de pendiente abrupto alrededor de 1100 \AA y además una pendiente suave en el cercano UV, espectros que no podían ser ajustados simultáneamente con los modelos que reproducen tanto el continuo así como las líneas de emisión. En esta investigación encontramos que de las cinco posibles pantallas exploradas bajo el paradigma de una SED intrínseca universal proveniente de la máquina central del quasar, nosotros favorecemos las pantallas intrínsecas en absorción compuestas por granos de polvo de nanodiamante cúbico y carbón amorfo para explicar satisfactoriamente (ver ajustes en H07) el *quiebre UV* y el *problema de suavidad*. También encontramos que en promedio la masa de polvo necesaria para formar estas pantallas es de 0.003 masas solares (B05), suponiendo que la pantalla de polvo está a 1 pc del quasar.

La técnica de proceder para cada quasar fue primero corregir el espectro por el *quiebre UV* con la curva D3 y posteriormente corregir el *problema de suavidad* con la curva AC. Lo anterior es debido a que la curva D3 absorbe principalmente en la región del UV lejano y muy poco en el cercano UV. Aunque la curva D3 (nanodiamantes cúbicos) es una simplificación del caso planeado por B05, quien utilizó nanodiamantes meteoríticos así como cúbicos, la justificación para utilizar nanodiamantes está inspirada en que los nanodiamantes meteoríticos además de presentar un quiebre agudo en su curva de extinción, también tienen bandas de emisión en la banda IR. Es necesario continuar con esta exploración y en caso dado detectar la respectiva emisión en la banda del IR para los quasares analizados por H07. Recientemente de Diego et al. (2007) descarto la contribución del polvo compuesto por nanodiamante meteorítico en el quasar 3C 298 al comparar la predicción de la emisión IR de nuestro paradigma con los datos del telescopio espacial Spitzer. Otra línea de investigación es averiguar si los mecanismos que permitieron la formación de nanodiamantes en el sistema solar pudieron darse en los quasares. Por último, consideramos que las alternativas

señaladas por Binette et al. (2007), donde algunas no consideran nanodiamantes, serán valiosas para ser exploradas en trabajos posteriores.

Este trabajo está financiado por la beca Postdoctoral CONACyT de S.A.R.H.C. El apoyo para L.B. proviene del proyecto J50296 de CONACyT. Agradecemos la asistencia de Alfredo Díaz y de Abraham Roldan.

REFERENCES

- Binette, L., Haro-Corzo, S., Krongold, Y., & Andersen, A. C. 2007, in A symposium to celebrate the 60th birthday of Deborah Dultzin-Hacyan, Huatulco, México, astro-ph/0706.2006, (B07)
- Binette, L., Magris C., G., Krongold, Y., Morisset, C., Haro-Corzo, S., de Diego, J. A., Mutschke, H., & Andersen, A. C. 2005, *ApJ*, 631, 661, (B05)
- Bohren, C. F., & Huffman, D. R. 1983, *Absorption and scattering of light by small particles* (New York: Wiley, 1983)
- de Diego, J. A., Binette, L., Ogle, P., Andersen, A. C., Haro-Corzo, S., & Wold, M. 2007, *A&A*, 467, L7
- Delaney, X. 2000, *ApJ*, 533, 710
- Draine, B. T. 2003, *ApJ*, 598, 1026
- Edwards, D., & H.R., P. 1985, in *Handbook of Optical Constants of Solids*, ed. E. D. Palik (Orlando: Academic Press), 665
- Haro Corzo, S. A. R. 2006, Tesis Doctoral (Instituto de Astronomía-UNAM.), <http://bidi.unam.mx>
- Haro-Corzo, S. A. R., Binette, L., Krongold, Y., Benitez, E., Humphrey, A., Nicastro, F., & Rodríguez-Martínez, M. 2007, *ApJ*, 662, 145, (H07)
- Lewis, R. S., Bright, D., & Steel, E. 1987a, *Meteoritics*, 22, 445
- Lewis, R. S., Ming, T., Wacker, J. F., & Steel, E. 1987b, in *Lunar and Planetary Institute Conference Abstracts*, 550–+
- Mutschke, H., Andersen, A. C., Jäger, C., Henning, T., & Braatz, A. 2004, *A&A*, 423, 983
- Pei, Y. C. 1992, *ApJ*, 395, 130
- Prevot, M. L., Lequeux, J., Prevot, L., Maurice, E., & Rocca-Volmerange, B. 1984, *A&A*, 132, 389
- Richards, G. T. et al. 2003, *AJ*, 126, 1131

Rouleau, F., & Martin, P. G. 1991, *ApJ*, 377, 526

Van Kerckhoven, C., Tielens, A. G. G. M., & Waelkens, C. 2002, *A&A*, 384, 568

Whittet, D. 2003, *Dust in the Galactic Environment* (2d ed.) (Institute of Physics Publishing, Bristol and Philadelphia. Series in Astronomy and Astrophysics)

Zinner, E. 1998, *Annual Review of Earth and Planetary Sciences*, 26, 147